

熊本大学工学部 正員 ○ 秋吉 韶
 熊本大学工学部 学生員 中山 移
 八代高専 正員 割田 邦彦

1. まえがき 地震時の地盤と構造物の問題を扱うとき、地盤の挙がりを考慮せざるを得ないが、通常はその地盤を離散化したモデルにして、適当な領域内の地盤を系として取り上げる。このとき、適当に設定した境界面が系内を伝播する波動に対して抵抗なく通過せしめることが必要であるが、その手法に関するものにいくつか提案されている。^{1)~6)} それらは standard viscous boundary, transmitting boundary の3つは consistent boundary などと呼ばれているが、文別すると各時刻ごとに直接積分によって解く方法と、入出力の関係を Fourier 変換形に対応させておりて、これを数値的に逆変換して応答を求める手法となろう。線形の問題ならば後者の方が有利であるが、非線形な問題あるいは初期値問題では前者の方が有利であり、ここに示す手法は前者に属するものである。

2. 解析手法 FIG.1 のような平面モデルが硬い基盤上に載っており、振動源がその系内にある場合を考える。振動が取り扱う系の左の境界 B_L , B_R で反射することなく外側へ伝播せしめる境界(条件)を求めることになる。ここでは SH 波のみを考えているので、水平変位 $\psi(t)$ は紙面直角(y 軸)方向に生ずるものとする。

FIG.2 の B_R 上の変位 $\{\psi(t)\}_k$ は次式を満たす。

$$[m]\{\ddot{\psi}\}_k + [k_1]\{\dot{\psi}\}_k - \{\psi\}_{k+1} + [k_2]\{\psi\}_k + [k_1]\{\psi\}_{k+1} = \{0\} \quad \dots (1)$$

ただし、初期条件は

$$\{\psi(0)\}_k = \{\dot{\psi}(0)\}_k = 0, \quad (k=1, 2, 3, \dots) \quad \dots (2)$$

このとく、次の置き換えをしていく。

$$\left. \begin{aligned} [k_1] &= k_1[I], \quad [k_2] = k_2[E], \quad [E] = \begin{bmatrix} 2 & -1 & & \\ -1 & 2 & -1 & \\ & & \ddots & \end{bmatrix} \\ k_1 &= Gt_0/a, \quad k_2 = Gt_0a/b, \quad t_0: \text{要素厚} \end{aligned} \right\} \quad \dots (3)$$

ここで、固有値 $[x^2]$ 、モーダルマトリクス $[\alpha]$ は次式

$$\left(\frac{1}{m}[k_2] - x^2[I] \right) \{\alpha\} = \{0\} \quad \dots (4)$$

を満足するようになり、かつ $[\alpha]^T[\alpha] = [I]$ と正規化しておこう。

之は(2)のとて(1)の両辺を Laplace 変換すると

$$(z[k_1] + [k_2] + [m]s^2)\{\bar{\psi}\}_k - [k_1]\{\bar{\psi}\}_{k+1} - [k_1]\{\bar{\psi}\}_{k+1} = \{0\} \quad \dots (5)$$

変換形 $\{\bar{\psi}(s)\}_k$ は $[\alpha]$ で展開すると (展開係数を $\{A(s)\}$ とする)

$$\{\bar{\psi}(s)\}_k = [\alpha]\{A(s)\} \quad \text{みよしは } \{A(s)\} = [\alpha]^T\{\bar{\psi}(s)\} \quad \dots (6)$$

一方、Mode との伝達関数を $G_1(s), \dots, G_n(s)$ とすると、 $\{\bar{\psi}(s)\}_{k+1}$ は

$$\{\bar{\psi}(s)\}_{k+1} = G_1(s) \cdot A_1[\alpha]_k + \dots + G_n(s) \cdot A_n[\alpha]_k$$

$$= [\alpha][G(s)][A(s)] = [\alpha][G(s)][\alpha]^T\{\bar{\psi}(s)\}_k \quad \dots (7)$$

$$\text{同様に, } \{\bar{\psi}(s)\}_{k+1} = [\alpha][G^{-1}][\alpha]^T\{\bar{\psi}(s)\}_k = [\alpha][G^{-1}][\alpha]^T\{\bar{\psi}(s)\}_k \quad \dots (8)$$

之は(7), (8)を(5)に代入すると、 $\{\bar{\psi}(s)\}_k$ に関する次の方程式をうる。

$$\left[\begin{array}{c} 2k_1 + ms^2 - k_1(G_1 + 1/G_1) + m\lambda_1^2 \\ 2k_1 + ms^2 - k_1(G_n + 1/G_n) + m\lambda_n^2 \end{array} \right] \{\bar{\psi}(s)\} = \{0\} \quad \dots\dots\dots (9)$$

この(9)式の $\{\bar{\psi}\}_R$ が > 0 で有意な解を持つためには、左辺の複数行列式が 0 でなければならぬ。これより

$$G_L(s) - (s^2 + 2P_1^2 + \lambda_1^2) G_L(s) + 1 = 0, \quad (l=1, 2, \dots, n) \quad \dots\dots\dots (10)$$

$$\text{すなはち}, \quad G_L(s) = (\sqrt{s^2 + 4P_1^2 + \lambda_1^2} - \sqrt{s^2 + \lambda_1^2})^2 / 4P_1^2, \quad (l=1, 2, \dots, n) \quad \dots\dots\dots (10')$$

$$T = T' = L, \quad P_1 = \sqrt{k_1/m}, \quad P_2 = \sqrt{k_2/m}$$

いま FIG. 2 の k 列目の格架の直ぐ右側に仮想の境界 B_R が入る場合は、元の半無限地盤にもとすために B_R に加えらるべき Boundary force $\{T(t)\}$ は次のようになる。すなはち (7) より

$$-\{\bar{T}(s)\} = [k], (\{\bar{\psi}\}_R - \{\bar{\psi}\}_{R+1}) = \frac{1}{2}m[\alpha] \left[\begin{array}{c} \sqrt{s^2 + \lambda_1^2} (\sqrt{s^2 + \lambda_1^2 + 4P_1^2} - \sqrt{s^2 + \lambda_1^2}) \\ \sqrt{s^2 + \lambda_n^2} (\sqrt{s^2 + \lambda_n^2 + 4P_1^2} - \sqrt{s^2 + \lambda_n^2}) \end{array} \right] [\alpha]^T \{\bar{\psi}\}_R \quad \dots\dots\dots (11)$$

これを逆変換すると

$$-\{T(t)\} = \sqrt{m k_1} \int_0^t \frac{J_1(2P_1\tau)}{\tau} \{\dot{\psi}(t-\tau)\}_R d\tau + 2k_1[\alpha] \left[\begin{array}{c} \lambda_1 J_1(\lambda_1 \tau) / \tau \\ \lambda_n J_1(\lambda_n \tau) / \tau \end{array} \right] [\alpha]^T \{\psi(t-\tau)\}_R d\tau \quad \dots\dots\dots (12)$$

一方、連続体理論より導かれる Lysmer ¹⁾ の手法によると ($\tau = T' = L, J_1(\cdot), J_2(\cdot)$: 第1種 Bessel 関数)

$$-\{T(t)\} = \sqrt{m k_1} \{\dot{\psi}(t)\}_R + \sqrt{m k_1} [\alpha] \left[\begin{array}{c} \lambda_1 J_1(\lambda_1 T) / T \\ \lambda_n J_1(\lambda_n T) / T \end{array} \right] [\alpha]^T \{\psi(t)\}_R \quad \dots\dots\dots (13)$$

かくして、FIG. 1 の B_L, B_R を囲まれた内部の運動方程式は次式となる。

$$[M]_I \{\ddot{\psi}\}_I + [k]_I \{\psi\}_I = \{F(t)\}_I + \{T(t)\}_L + \{T(t)\}_R \quad \dots\dots\dots (14)$$

ここで、 $[M]_I, [k]_I, \{F(t)\}_I$ は各々、系全体の質量マトリクス、剛性マト

リクス、外カベクトルであり、 $\{T(t)\}_L, \{T(t)\}_R$ は左右の Boundary force である。

なお (12) の表示は (13) をもう一重積分したものである。

3. 数値計算 FIG. 4 のような等

分割モデルの節度 4～15 (= 0～30 rad/sec のホワイト) イズ(加速度外力;
FIG. 5 参照) を作用させた場合を考えてみる。

3. このとき載荷状態より、例えば

節度 6 と 15 は互に対称であるから、

もし Boundary force が完全であれば、

両節度の波形は同一となるはずであ

る。FIG. 6 の加速度応答波形をみると、

Lysmer らの手法では波形のくい

違ひが著しいが、提案した手法では

ほぼ完全に一致しており、妥当性を

示しているといえよう。なおこの場

合の諸元は、 $V_0 = 50 \text{ m/sec}$, 表層厚

は 15 m , $\Delta t = 0.02 \text{ sec}$ 。その他

結果は講演時に述べる。

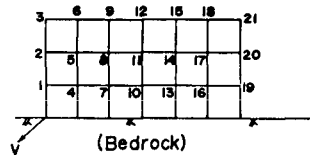


FIG. 4 UNIFORM-MESH MODEL

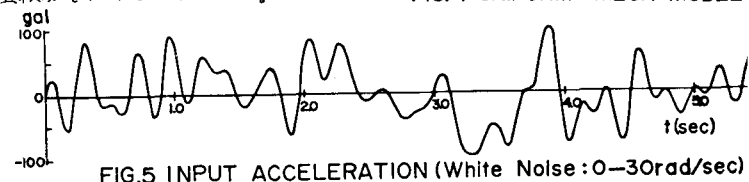


FIG. 5 INPUT ACCELERATION (White Noise: 0-30 rad/sec)

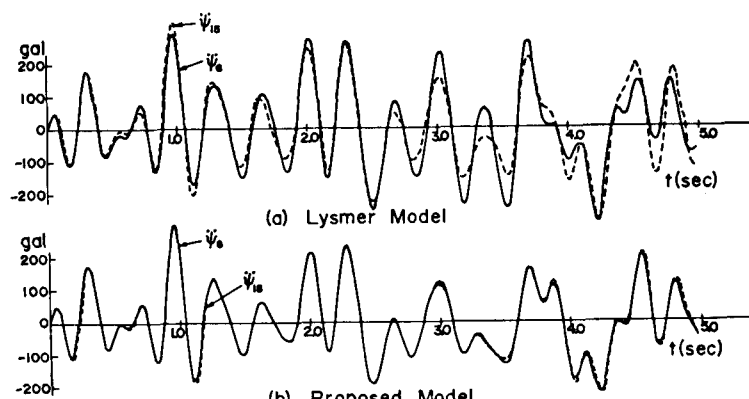


FIG. 6 RESPONSE ACCELERATIONS

参考文献 1) Lysmer, J. et al., Jour. of EM Div., ASCE, Vol. 95, No. EM4, Aug., 1969, pp. 857-877, 2) Lysmer, J., Bull. of SSA, Vol. 60, No. 1, Feb., 1970, pp. 83-104, 3) Lysmer, J. et al., Jour. of EM Div., ASCE, Vol. 98, No. EM1, Feb., 1972, pp. 85-105, 4) 田治見 宏・下村幸男, 日本建築学会論文報告集, 第243号, 1976.5, pp. 41-51, 5) Kausel, E. et al., Jour. of EM Div., ASCE, Vol. 103, No. EM4, Aug., 1977, pp. 569-588, 6) White, W. et al., Jour. of EM Div., ASCE, Vol. 103, No. EM5, Oct., 1977, pp. 949-964.